

Approche par encadrement pour l'analyse de modèles complexes

Farah AIT SALAHT

Laboratoire SAMOVAR, Télécom SudParis

09 février 2015



Sommaire

- 1 Contexte et problématique de thèse
- 2 Problèmes d'imprécision dans les modèles
 - Probabilités de transition imprécises dans les chaînes de Markov
 - Incertitude de mesure et bruit de quantification
- 3 Méthodologie adoptée pour les deux problèmes : méthodes de comparaison pour le calcul de bornes
 - Probabilités de transition imprécises dans les chaînes de Markov
 - Incertitude de mesure et bruit de quantification
- 4 Exemples d'application
- 5 Conclusion

Sommaire

- 1 Contexte et problématique de thèse
- 2 Problèmes d'imprécision dans les modèles
 - Probabilités de transition imprécises dans les chaînes de Markov
 - Incertitude de mesure et bruit de quantification
- 3 Méthodologie adoptée pour les deux problèmes : méthodes de comparaison pour le calcul de bornes
 - Probabilités de transition imprécises dans les chaînes de Markov
 - Incertitude de mesure et bruit de quantification
- 4 Exemples d'application
- 5 Conclusion

Contexte et problématique étudiés en thèse

- ▶ Analyse de performance de systèmes réels sur lesquels nous avons des mesures partielles
- ▶ Facteur d'incertitude
- ▶ Analyse exacte très difficile voire impossible à effectuer
- ▶ Aspects de l'incertitude :
 - Imprécision dans les probabilités de transition
 - Incertitude de mesure et bruit de quantification
- ▶ Notre objectif :
 - ▶ Apporter des solutions de modélisation pour les systèmes partiellement connus et résolution numérique
 - ▶ Fournir des encadrements sur les performances des systèmes étudiés

Sommaire

- 1 Contexte et problématique de thèse
- 2 Problèmes d'imprécision dans les modèles
 - Probabilités de transition imprécises dans les chaînes de Markov
 - Incertitude de mesure et bruit de quantification
- 3 Méthodologie adoptée pour les deux problèmes : méthodes de comparaison pour le calcul de bornes
 - Probabilités de transition imprécises dans les chaînes de Markov
 - Incertitude de mesure et bruit de quantification
- 4 Exemples d'application
- 5 Conclusion

Sommaire

- 1 Contexte et problématique de thèse
- 2 Problèmes d'imprécision dans les modèles
 - Probabilités de transition imprécises dans les chaînes de Markov
 - Incertitude de mesure et bruit de quantification
- 3 Méthodologie adoptée pour les deux problèmes : méthodes de comparaison pour le calcul de bornes
 - Probabilités de transition imprécises dans les chaînes de Markov
 - Incertitude de mesure et bruit de quantification
- 4 Exemples d'application
- 5 Conclusion

a) Probabilités de transition imprécises dans les chaînes de Markov

- ▶ Difficulté de déterminer tous les paramètres du modèle
- ▶ Impossibilité/coût élevé de déterminer précisément les probabilités de transition
- ▶ Description par intervalles des probabilités de transition
- ▶ Ensemble défini par deux matrices \mathbf{L} et \mathbf{U} , tel que $\mathbf{L} \leq \mathbf{P} \leq \mathbf{U}$ (\leq : par élément)

Exemple

On considère la chaîne de Markov imprécise à 4 états dont les probabilités de transitions sont exprimées comme suit :

$$\begin{pmatrix} [0.2744, 0.3456] & [0.2765, 0.3477] & [0.3779, 0.4490] & 0 \\ [0.1024, 0.3067] & 0 & [0.2651, 0.7282] & [0.1430, 0.4282] \\ [0.3844, 0.5085] & [0.3844, 0.5152] & 0 & [0.0488, 0.1004] \\ [0.0248, 0.0544] & 0.5571 & [0.2229, 0.4885] & [0, 0.0003] \end{pmatrix}$$

a) Probabilités de transition imprécises dans les chaînes de Markov

- ▶ Difficulté de déterminer tous les paramètres du modèle
- ▶ Impossibilité/coût élevé de déterminer précisément les probabilités de transition
- ▶ Description par intervalles des probabilités de transition
- ▶ Ensemble défini par deux matrices \mathbf{L} et \mathbf{U} , tel que $\mathbf{L} \leq \mathbf{P} \leq \mathbf{U}$ (\leq : par élément)

Exemple

On considère la chaîne de Markov imprécise à 4 états dont les probabilités de transitions sont exprimées comme suit :

$$\begin{pmatrix} [\mathbf{0.2744}, 0.3456] & [0.2765, 0.3477] & [0.3779, 0.4490] & 0 \\ [\mathbf{0.1024}, 0.3067] & 0 & [0.2651, 0.7282] & [0.1430, 0.4282] \\ [\mathbf{0.3844}, 0.5085] & [0.3844, 0.5152] & 0 & [0.0488, 0.1004] \\ [\mathbf{0.0248}, 0.0544] & 0.5571 & [0.2229, 0.4885] & [0, 0.0003] \end{pmatrix}$$

a) Probabilités de transition imprécises dans les chaînes de Markov

- ▶ Difficulté de déterminer tous les paramètres du modèle
- ▶ Impossibilité/coût élevé de déterminer précisément les probabilités de transition
- ▶ Description par intervalles des probabilités de transition
- ▶ Ensemble défini par deux matrices \mathbf{L} et \mathbf{U} , tel que $\mathbf{L} \leq \mathbf{P} \leq \mathbf{U}$ (\leq : par élément)

Exemple

On considère la chaîne de Markov imprécise à 4 états dont les probabilités de transitions sont exprimées comme suit :

$$\begin{pmatrix} [0.2744, \mathbf{0.3456}] & [0.2765, 0.3477] & [0.3779, 0.4490] & 0 \\ [0.1024, \mathbf{0.3067}] & 0 & [0.2651, 0.7282] & [0.1430, 0.4282] \\ [0.3844, \mathbf{0.5085}] & [0.3844, 0.5152] & 0 & [0.0488, 0.1004] \\ [0.0248, \mathbf{0.0544}] & 0.5571 & [0.2229, 0.4885] & [0, 0.0003] \end{pmatrix}$$

a) Probabilités de transition imprécises dans les chaînes de Markov

- ▶ Difficulté de déterminer tous les paramètres du modèle
- ▶ Impossibilité/coût élevé de déterminer précisément les probabilités de transition
- ▶ Description par intervalles des probabilités de transition
- ▶ Ensemble défini par deux matrices \mathbf{L} et \mathbf{U} , tel que $\mathbf{L} \leq \mathbf{P} \leq \mathbf{U}$ (\leq : par élément)

Exemple

On considère la chaîne de Markov imprécise à 4 états dont les probabilités de transitions sont exprimées comme suit :

$$\begin{pmatrix} [0.2744, 0.3456] & [0.2765, 0.3477] & [0.3779, 0.4490] & 0 \\ [0.1024, 0.3067] & 0 & [0.2651, 0.7282] & [0.1430, 0.4282] \\ [0.3844, 0.5085] & [0.3844, 0.5152] & 0 & [0.0488, 0.1004] \\ [0.0248, 0.0544] & 0.5571 & [0.2229, 0.4885] & [0, 0.0003] \end{pmatrix}$$

Question : *Est-ce qu'on peut dire quelque chose sur les probabilités stationnaires ?*

a) Probabilités de transition imprécises dans les chaînes de Markov

- ▶ Difficulté de déterminer tous les paramètres du modèle
- ▶ Impossibilité/coût élevé de déterminer précisément les probabilités de transition
- ▶ Description par intervalles des probabilités de transition
- ▶ Ensemble défini par deux matrices \mathbf{L} et \mathbf{U} , tel que $\mathbf{L} \leq \mathbf{P} \leq \mathbf{U}$ (\leq : par élément)

Exemple

On considère la chaîne de Markov imprécise à 4 états dont les probabilités de transitions sont exprimées comme suit :

$$\begin{pmatrix} [0.2744, 0.3456] & [0.2765, 0.3477] & [0.3779, 0.4490] & 0 \\ [0.1024, 0.3067] & 0 & [0.2651, 0.7282] & [0.1430, 0.4282] \\ [0.3844, 0.5085] & [0.3844, 0.5152] & 0 & [0.0488, 0.1004] \\ [0.0248, 0.0544] & 0.5571 & [0.2229, 0.4885] & [0, 0.0003] \end{pmatrix}$$

Question : *Est-ce qu'on peut dire quelque chose sur les probabilités stationnaires ?* **OUI**

Sommaire

- 1 Contexte et problématique de thèse
- 2 Problèmes d'imprécision dans les modèles
 - Probabilités de transition imprécises dans les chaînes de Markov
 - Incertitude de mesure et bruit de quantification
- 3 Méthodologie adoptée pour les deux problèmes : méthodes de comparaison pour le calcul de bornes
 - Probabilités de transition imprécises dans les chaînes de Markov
 - Incertitude de mesure et bruit de quantification
- 4 Exemples d'application
- 5 Conclusion

b) Incertitude de mesure et bruit de quantification

- ▶ Traces de trafic réelles
- ▶ Mesures de données trop importantes
- ▶ Précision limitée des mesures
- ▶ Bruit de quantification

Concrètement

- ▶ Distributions empiriques avec un grand nombre de bins (plusieurs milliers)
- ▶ Équation de structure du modèle parfaitement connue (Loynes, Max-Plus, ...)
- ▶ Effectuer des calculs numériques sur les distributions de probabilités

Inconvénients :

- ▶ Croissance très rapide du nombre de bins suite aux opérations numériques
- ▶ Calcul numérique très difficile voire impossible

Sommaire

- 1 Contexte et problématique de thèse
- 2 Problèmes d'imprécision dans les modèles
 - Probabilités de transition imprécises dans les chaînes de Markov
 - Incertitude de mesure et bruit de quantification
- 3 **Méthodologie adoptée pour les deux problèmes : méthodes de comparaison pour le calcul de bornes**
 - Probabilités de transition imprécises dans les chaînes de Markov
 - Incertitude de mesure et bruit de quantification
- 4 Exemples d'application
- 5 Conclusion

Sommaire

- 1 Contexte et problématique de thèse
- 2 Problèmes d'imprécision dans les modèles
 - Probabilités de transition imprécises dans les chaînes de Markov
 - Incertitude de mesure et bruit de quantification
- 3 Méthodologie adoptée pour les deux problèmes : méthodes de comparaison pour le calcul de bornes
 - Probabilités de transition imprécises dans les chaînes de Markov
 - Incertitude de mesure et bruit de quantification
- 4 Exemples d'application
- 5 Conclusion

Une méthodologie : les méthodes de comparaison pour le calcul de bornes

a) Probabilités de transition imprécises dans les chaînes de Markov

- ▶ Calculer des bornes par éléments sur la distribution de probabilité stationnaire
- ▶ Utiliser la comparaison par élément des matrices et des vecteurs (\leq)
- ▶ Faire un calcul de faible complexité
- ▶ Développer un algorithme itératif avec une amélioration des bornes à chaque itération
 - ▶ Fondé sur la théorie polyédrale de Courtois et un résultat de Muntz
 - ▶ Et sur un algorithme prouvé par J.M. Fourneau et A. Busic (NLA 2011)
 - ▶ Systèmes dynamiques (c.-à-d. non stochastique) reposant sur les séquences (max, +) ou (min, +)

a) Probabilités de transition imprécises dans les chaînes de Markov

- ▶ Précision : nous devons avoir un résultat très précis pour les distributions stationnaires.
- ▶ Complexité : on suppose que la taille de la chaîne est de n .
- ▶ n résolutions numériques de l'état stationnaire.
- ▶ Si nous utilisons GTH (en raison de la précision), nous avons une complexité cubique pour la résolution d'une chaîne.
- ▶ Ainsi, une complexité en $\theta(n^4)$ pour le calcul global.
- ▶ **Solution** : remplacer la GTH par un algorithme fondé sur ∇ .
- ▶ Par itération : le calcul de ∇ nécessite : $\theta(nz)$, avec nz le nombre d'éléments non nuls
- ▶ Nouveau schéma de calcul pour la distribution stationnaire d'un ensemble de DTMC
- ▶ Construction de nouvelles bornes par éléments prouvées sur la MTTF d'une chaîne de Markov imprécise et absorbante

Sommaire

- 1 Contexte et problématique de thèse
- 2 Problèmes d'imprécision dans les modèles
 - Probabilités de transition imprécises dans les chaînes de Markov
 - Incertitude de mesure et bruit de quantification
- 3 **Méthodologie adoptée pour les deux problèmes : méthodes de comparaison pour le calcul de bornes**
 - Probabilités de transition imprécises dans les chaînes de Markov
 - **Incertitude de mesure et bruit de quantification**
- 4 Exemples d'application
- 5 Conclusion

Une méthodologie : les méthodes de comparaison et de bornes

b) Incertitude de mesure et bruit de quantification

- ▶ Simplification du modèle initial
- ▶ Définition de nouvelles bornes sur les distributions fondées sur l'ordre stochastique
- ▶ Réduire la taille des distributions
- ▶ Offrir un compromis entre la qualité des bornes et la complexité du calcul

Exemples étudiés en thèse :

- ▶ Distribution de la durée d'exécution dans un graphe de tâches stochastique
- ▶ Distribution des délais d'attente dans une file FIFO
- ▶ Mesures de performance dans une file d'attente simple et dans les réseaux

Extension envisagée : Dériver des bornes sur la date à laquelle une expression booléenne devient vraie.

Brève introduction sur l'ordre stochastique

- ▶ $\mathcal{G} = \{1, 2, \dots, n\}$ un espace d'état fini
- ▶ X, Y : distributions discrètes sur \mathcal{G}
- ▶ $p_X(i) = \text{prob}(X = i)$ et $p_Y(i) = \text{prob}(Y = i)$ pour $i \in \mathcal{G}$

Propriétés sur l'ordre stochastique \leq_{st}

- **Définition de l'ordre \leq_{st} :** $X \leq_{st} Y$ ssi $\sum_{k=i}^n p_X(k) \leq \sum_{k=i}^n p_Y(k)$, $\forall i$.

- **Comparaison de fonctions non décroissantes :**

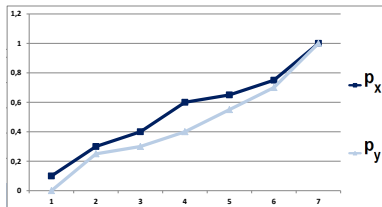
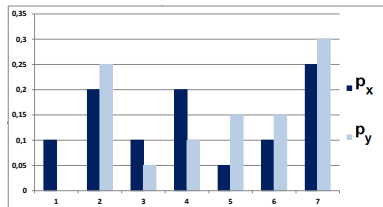
$$X \leq_{st} Y \iff \mathbb{E}[f(X)] \leq \mathbb{E}[f(Y)]$$

pour toute fonction non décroissante $f : \mathcal{G} \rightarrow \mathbb{R}^+$ à condition que les espérances existent.

- Soient F_X et F_Y leurs probabilités cumulées. Alors,

$$X \leq_{st} Y \iff F_X(a) \geq F_Y(a), \forall a \in \mathcal{G}$$

Brève introduction sur l'ordre stochastique



-pmfs des distributions X et Y-

-Leurs fonctions de répartition-

FIGURE : $\mathcal{G} = \{1, 2, \dots, 7\}$, $\mathbf{p}_X = [0.1, 0.2, 0.1, 0.2, 0.05, 0.1, 0.25]$ et
 $\mathbf{p}_Y = [0, 0.25, 0.05, 0.1, 0.15, 0.15, 0.3]$.

Bornes stochastiques sur les histogrammes

- ▶ Hypothèse : ordre total sur l'espace \mathcal{H} , de taille N
- ▶ Nous avons une distribution \mathbf{d} et \mathbf{r} : fonction de récompense positive croissante, $R[\mathbf{d}] = \sum \mathbf{r}(i)\mathbf{d}(i)$
- ▶ Déterminer $\mathbf{d1}$ et $\mathbf{d2}$ tel que :
 - 1 $\mathbf{d2} \leq_{st} \mathbf{d} \leq_{st} \mathbf{d1}$,
 - 2 $\mathbf{d1}$ et $\mathbf{d2}$ ont exactement K bins (pas nécessairement les mêmes) ; $\mathbf{d1}$ a comme support \mathcal{H}^u et $\mathbf{d2}$ a comme support \mathcal{H}^l ,
 - 3 $\sum_{i \in \mathcal{H}} \mathbf{r}(i)\mathbf{d}(i) - \sum_{i \in \mathcal{H}^l} \mathbf{r}(i)\mathbf{d2}(i)$ est minimal pour les distributions bornes inférieures \mathbf{d} avec K bins,
 - 4 $\sum_{i \in \mathcal{H}^u} \mathbf{r}(i)\mathbf{d1}(i) - \sum_{i \in \mathcal{H}} \mathbf{r}(i)\mathbf{d}(i)$ est minimal pour les distributions bornes supérieures \mathbf{d} avec K bins.

Bornes optimales, programmation dynamique

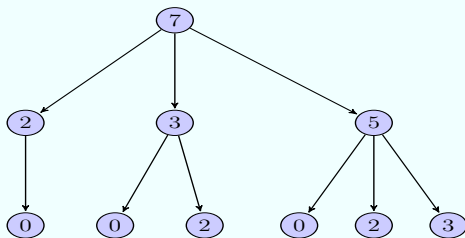
- ▶ Problème de théorie des graphes.
- ▶ On considère un graphe pondéré $G = (V, E)$ avec :
 - ▶ **Borne inférieure** : $w(e) = \sum_{j \in \mathcal{H}: u < j < v} \mathbf{d}(j)(\mathbf{r}(j) - \mathbf{r}(u))$
 - ▶ **Borne supérieure** : $w(e) = \sum_{j \in \mathcal{H}: u < j < v} \mathbf{d}(j)(\mathbf{r}(v) - \mathbf{r}(j))$
- ▶ **Calcul de la borne optimale** \equiv Déterminer le chemin de longueur K ($K \ll N$) de coût minimum dans le graphe G . Algorithme fondé sur la programmation dynamique avec une complexité : $\theta(N^2K)$.
- ▶ La masse de probabilités des nœuds supprimés est sommée avec
 - ▶ **Borne inférieure** : les prédécesseurs immédiats
 - ▶ **Borne supérieure** : les successeurs immédiats

Exemple : Borne supérieure optimale

\mathcal{A} une distribution discrète avec support $\{0, 2, 3, 5, 7\}$
et probabilités $[0.05, 0.3, 0.15, 0.2, 0.3]$.

r : fonction de récompense, $r(a_i) = a_i$, $R[\mathcal{A}] = \sum_{a_i \in \mathbf{A}} r(a_i) p_{\mathbf{A}}(i) = 4.15$.

► Calculer la borne optimale supérieure $\overline{\mathcal{A}}$ sur 3 bins tel que $R[\overline{\mathcal{A}}] - R[\mathcal{A}]$ est minimale.



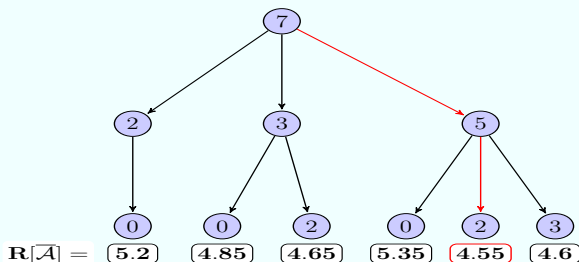
Exemple : Borne supérieure optimale

\mathcal{A} une distribution discrète avec support $\{0, 2, 3, 5, 7\}$

et probabilités $[0.05, 0.3, 0.15, 0.2, 0.3]$.

r : fonction de récompense, $r(a_i) = a_i$, $R[\mathcal{A}] = \sum_{a_i \in \mathbf{A}} r(a_i) p_{\mathbf{A}}(i) = 4.15$.

► Calculer la borne optimale supérieure $\overline{\mathcal{A}}$ sur 3 bins tel que $R[\overline{\mathcal{A}}] - R[\mathcal{A}]$ est minimale.



Distribution bornante $[0.35, 0.35, 0.3]$ avec support $\{2, 5, 7\}$ et $R[\overline{\mathcal{A}}] = 4.55$.

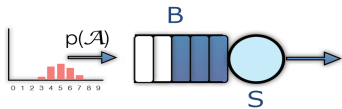
Sommaire

- 1 Contexte et problématique de thèse
- 2 Problèmes d'imprécision dans les modèles
 - Probabilités de transition imprécises dans les chaînes de Markov
 - Incertitude de mesure et bruit de quantification
- 3 Méthodologie adoptée pour les deux problèmes : méthodes de comparaison pour le calcul de bornes
 - Probabilités de transition imprécises dans les chaînes de Markov
 - Incertitude de mesure et bruit de quantification
- 4 Exemples d'application
- 5 Conclusion

Bornes pour des systèmes dynamiques

$Sortie = f(Entree_1; Entree_2, \dots)$

Exemple 1 : file d'attente



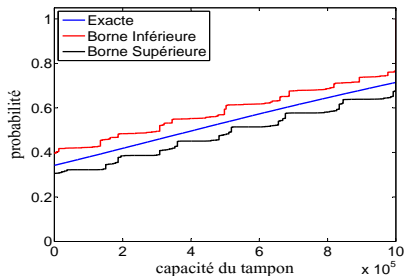
La longueur du tampon à l'instant k :

$$Q(k) = \min(B, (Q(k-1) + A(k) - S)^+); \quad k \in \mathbb{N}$$

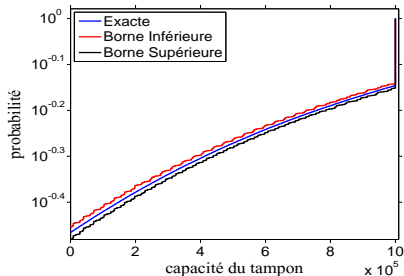
- ▶ Opérations sur les v.a. = convolution (+)
- ▶ Complexité espace à chaque instant k : au plus $\theta(|A| \times |Q(k-1)|)$, temps : $\theta(|A| \times |Q(k-1)|)$ (algo naïf), $\theta(|A| \times |Q(k-1)| \log(|A| \times |Q(k-1)|))$ (FFT)
- ▶ Bornes supérieures avec $A^{sup}(k) \geq_{st} A(k)$

Mesures de performance d'une file d'attente simple

Fonction de répartition (cdf) de la longueur du tampon sous la trace MAWI



(a) bins=20



(b) bins=100

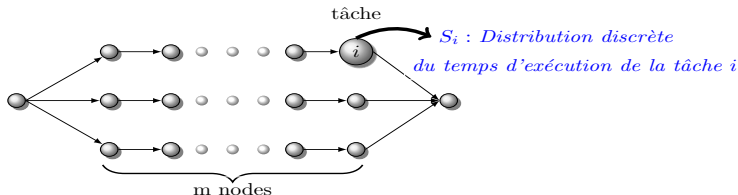
Temps de calcul pour $bins = 100$:

Exacte : 1897 s

Borne Inférieure : 0.35 s **et** **Borne Supérieure : 0.33 s**

Bornes pour des systèmes dynamiques

Exemple 2 : graphe de tâches stochastique (série parallèle)



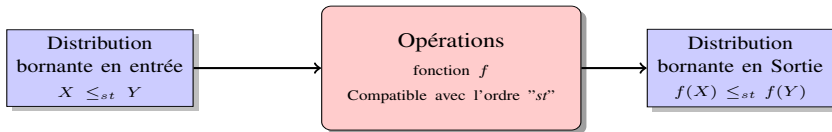
Distribution de la durée d'exécution : $T_i = \max_{j \in \Gamma_i^-} \{T_j\} + S_i$

- ▶ Opérations sur les v.a. : Convolution (+), Produit des pmfs (max)
- ▶ Complexité convolution : espace, au plus $\theta(\prod_i N_{X_i})$, temps : $\prod_i N_{X_i}$
- ▶ Bornes supérieures avec $\forall j \in \Gamma_i^-, T_j^{sup} \geq_{st} T_j$ et $S_i^{sup} \geq_{st} S_i$

Construction des bornes

$$\text{Sortie} = f(\text{Entree}_1, \text{Entree}_2, \dots)$$

► **"Monotonie"** :



$$\text{Si } \text{Entree}_1^{inf} \leq_{st} \text{Entree}_1 \Rightarrow \\ f(\text{Entree}_1^{inf}, \text{Entree}_2, \dots) \leq_{st} f(\text{Entree}_1, \text{Entree}_2, \dots)$$

\leq_{st} : fonctions croissantes : Max, Min, +, ... Système Dynamique Max, Plus

- Indépendance des v.a.
sinon par conditionnement mais complexité augmente exponentiellement
- Analyse de v.a. continues est également possible par discrétisation

Extension pour la Vérification Probabiliste

- ▶ $f(t)$: une proposition atomique ou une formule logique à l'instant t :
 $f(t) = 1(\text{Vrai})$ ou $f(t) = 0(\text{Faux})$,
- ▶ T_f : variable aléatoire représentant la plus petite date à laquelle la formule logique $f(t) = 1$ quand $f(0) = 0$,
- ▶ H_f : l'histogramme (pmf) associé à T_f :
 - ▶ $H_f[i] = \text{Prob}(T_f = i)$
 - ▶ $\text{Prob}(f(t) = 1) = \text{Prob}(T_f \leq t) = \sum_{k \leq t} H_f[k]$

Exemple :

- ▶ $f(t)$ (resp. $g(t)$) : la composante A (resp. B) est en panne à la date t
- ▶ T_f (resp. T_g) : v.a. représentant la date de panne pour la composante A (resp. B)
 - ▶ A dispo. à $t \Rightarrow \forall k \leq t, f(k) = 0$
 - ▶ $\text{Prob}(A \text{ dispo. à } t) = \text{Prob}(T_f > t) = \sum_{j > t} H_f[j]$

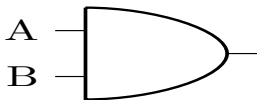
Conjonction

- ▶ $z(t) = f(t) \text{ AND } g(t)$
- ▶ $T_z = \max(T_f, T_g)$
- ▶ la taille de H_z , $|H_z| = \theta(|H_f| + |H_g| - 1)$ au plus
nombre d'opérations $\theta(|H_f| + |H_g|)$

Conjonction

- ▶ $z(t) = f(t) \text{ AND } g(t)$
- ▶ $T_z = \max(T_f, T_g)$
- ▶ la taille de H_z , $|H_z| = \theta(|H_f| + |H_g| - 1)$ au plus
nombre d'opérations $\theta(|H_f| + |H_g|)$

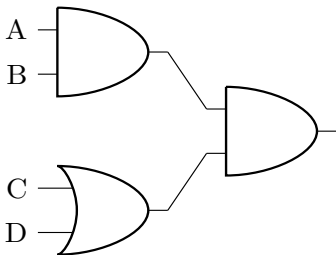
Exemple : Arbre de fautes dynamiques : porte AND



- ▶ $z(t) = 1 \Rightarrow A \text{ et } B \text{ en panne à la date } t$
- ▶ Histogrammes des dates de panne pour A et B :
 $H_f = \{0.5, 0.2, 0.3\}$ définie sur le support $\{1, 6, 7\}$
 $H_g = \{0.1, 0.7, 0.2\}$ définie sur le support $\{2, 8, 10\}$
- ▶ $H_z = \{0.05, 0.02, 0.03, 0.7, 0.2\}$ définie sur le support $\{2, 6, 7, 8, 10\}$.

- ▶ $w(t) = f(t) \text{ OR } g(t)$
- ▶ $T_w = \min(T_f, T_g)$

Exemple :



Avec

- ▶ $x(t)$: C est en panne à la date t ,
 $H_x = \{0.5, 0.5\}$ définie sur $\{3, 5\}$.
- ▶ $y(t)$: D est en panne à la date t ,
 $H_y = \{0.3, 0.7\}$ définie sur $\{1, 9\}$.
- ▶ $v(t)$: système est en panne à la date t , T_v la date de panne du système.
- ▶ $v(t) = (f(t) \text{ AND } g(t)) \text{ AND } (x(t) \text{ OR } y(t))$.

$H_v = \{0.015, 0.0175, 0.0175, 0.02, 0.03, 0.7, 0.2\}$ définie sur $\{2, 3, 5, 6, 7, 8, 10\}$.
Probabilité de la disponibilité à la date $t = \sum_{k>t} H_v[k]$.

Bornes stochastiques

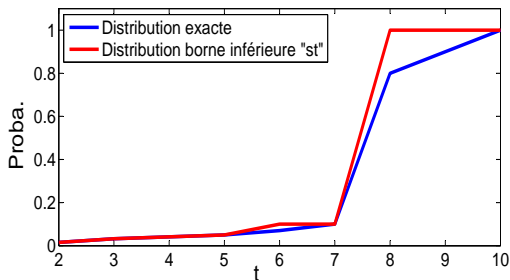
- ▶ $H_f \leq_{st} H_f^{sup}$, $Prob(T_f > t) \leq Prob(T_f^{sup} > t)$
- ▶ $H_f \geq_{st} H_f^{inf}$, $Prob(T_f > t) \geq Prob(T_f^{inf} > t)$

• Exemple 2

$H_f^{inf} = \{0.5, 0.5\}$ définie sur $\{1, 6\}$, $H_g^{inf} = \{0.1, 0.9\}$ définie sur $\{2, 8\}$

$H_v^{inf} = \{0.015, 0.0175, 0.0175, 0.05, 0.9\}$ définie sur $\{2, 3, 5, 6, 8\}$.

$H^{inf} \leq_{st} H$



- ▶ Proba. que le système dispo. à la date $t = 4$ est :
 $0.9675 \leq 0.9675$
- ▶ dispo. à la date $t = 7$ est
 $0.9 \leq 0.9$

Sommaire

- 1 Contexte et problématique de thèse
- 2 Problèmes d'imprécision dans les modèles
 - Probabilités de transition imprécises dans les chaînes de Markov
 - Incertitude de mesure et bruit de quantification
- 3 Méthodologie adoptée pour les deux problèmes : méthodes de comparaison pour le calcul de bornes
 - Probabilités de transition imprécises dans les chaînes de Markov
 - Incertitude de mesure et bruit de quantification
- 4 Exemples d'application
- 5 Conclusion

Conclusion

- ▶ Apporter de nouvelles solutions de modélisation et de résolution numérique reposant sur les techniques de bornes
- ▶ Nouvelles bornes stochastiques sur les distributions discrètes avec réduction de taille : définition d'un algorithme optimal
- ▶ Applications en cours :
 - ▶ Fiabilité et sûreté de fonctionnement
 - ▶ Vérification probabiliste : DFT
 - ▶ Dimensionnement de réseaux dans les cloud computing